

14 Anhang

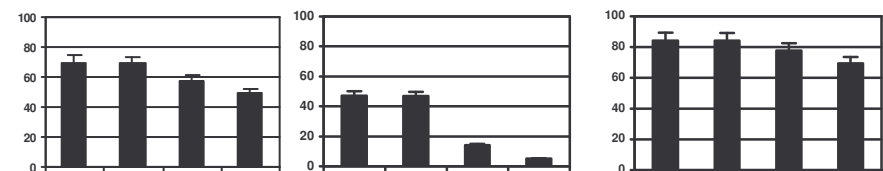
14.1 Abkürzungsverzeichnis

DMSO	Dimethylsulfoxid
EDTA	Ethyldiamintetraacetat
EGCG	Epigallocatechin 3-gallat
ELISA	Enzyme-linked Immunabsorbant Assay
EMCV	Encephalomyocarditis-Virus
FCS	Fetal Calf Serum (Fötales Kälberserum)
HBSS	Hank's Buffered Salt Solution (Salzlösung nach Hanks)
HHDP	Hexahydroxydiphenyl-
HPLC	High Performance Liquid Chromatography (Hochleistungs-Flüssigchromatographie)
IC	inhibitory concentration (Hemmstoffkonzentration)
IFN	Interferon
IL	Interleukin
iNOS	induzierbare NO-Synthase
LPS	Lipopolysaccharid
MΦ	Makrophage
MMLV	Murines Myelolymphomavirus
mRNA	messenger-RNA
NK	Natürliche Killer
NO	Nitrogen-Oxid (Stickstoffmonoxid)
PBS	Phosphate Buffered Solution (Phosphatgepufferte Lösung)
PCR	Polymerase Chain Reaction (Polymerase-Kettenreaktion)
RKI	Robert Koch - Institut
RNA	Ribonucleic Acid (Ribonucleinsäure)
SDS	Sodium dodecylsulphate (Natriumdodecylsulfat)
T _H	T-Helferzelle
TAE	Tris-Acetat-EDTA
TMB	3,3' , 5,5' – Tetramethylbenzidin- Dihydrochlorid
TNF	Tumor-Nekrose-Faktor

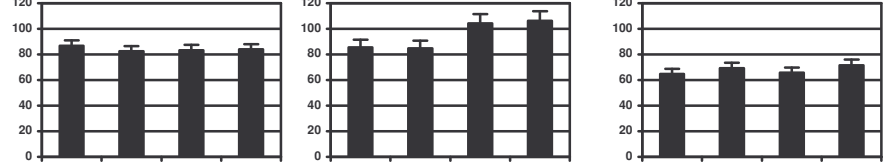
14.2

Datenanhang I (Kapitel 7)

(A): NO [μM]



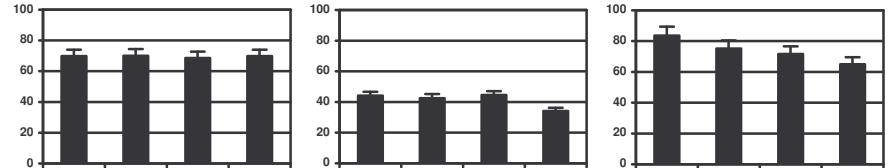
(B): Vitalität [%]



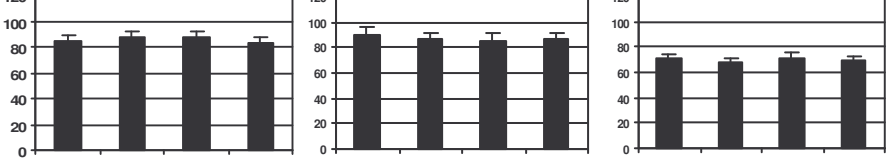
Stimulus:

IFN- γ (100 U/mL)	+	+	+	+	-	-	-	-	+	+	+	+
LPS (10 ng/mL)	-	-	-	-	+	+	+	+	+	+	+	+
3-Galloylshikimisäure [μM]	-	10	50	100	-	10	50	100	-	10	50	100

(A): NO [μM]



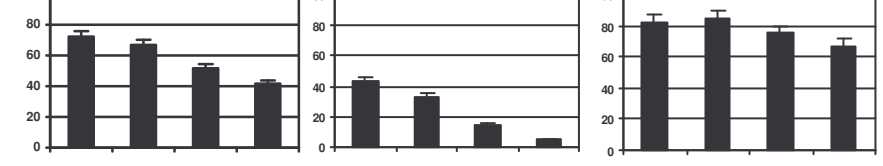
(B): Vitalität [%]



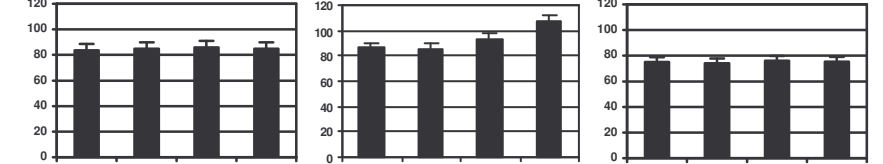
Stimulus:

IFN- γ (100 U/mL)	+	+	+	+	-	-	-	-	+	+	+	+
LPS (10 ng/mL)	-	-	-	-	+	+	+	+	+	+	+	+
3,5-Digalloylshikimisäure [μM]	-	10	50	100	-	10	50	100	-	10	50	100

(A): NO [μM]



(B): Vitalität [%]



Stimulus:

IFN- γ (100 U/mL)	+	+	+	+	-	-	-	-	+	+	+	+
LPS (10 ng/mL)	-	-	-	-	+	+	+	+	+	+	+	+
Corilagin [μM]	-	10	50	100	-	10	50	100	-	10	50	100

Abb. 14.1a: Stimulus-induzierte NO-Produktion (A) und Vitalität (B) aktiverter RAW 264.7-Zellen durch Polyphenole

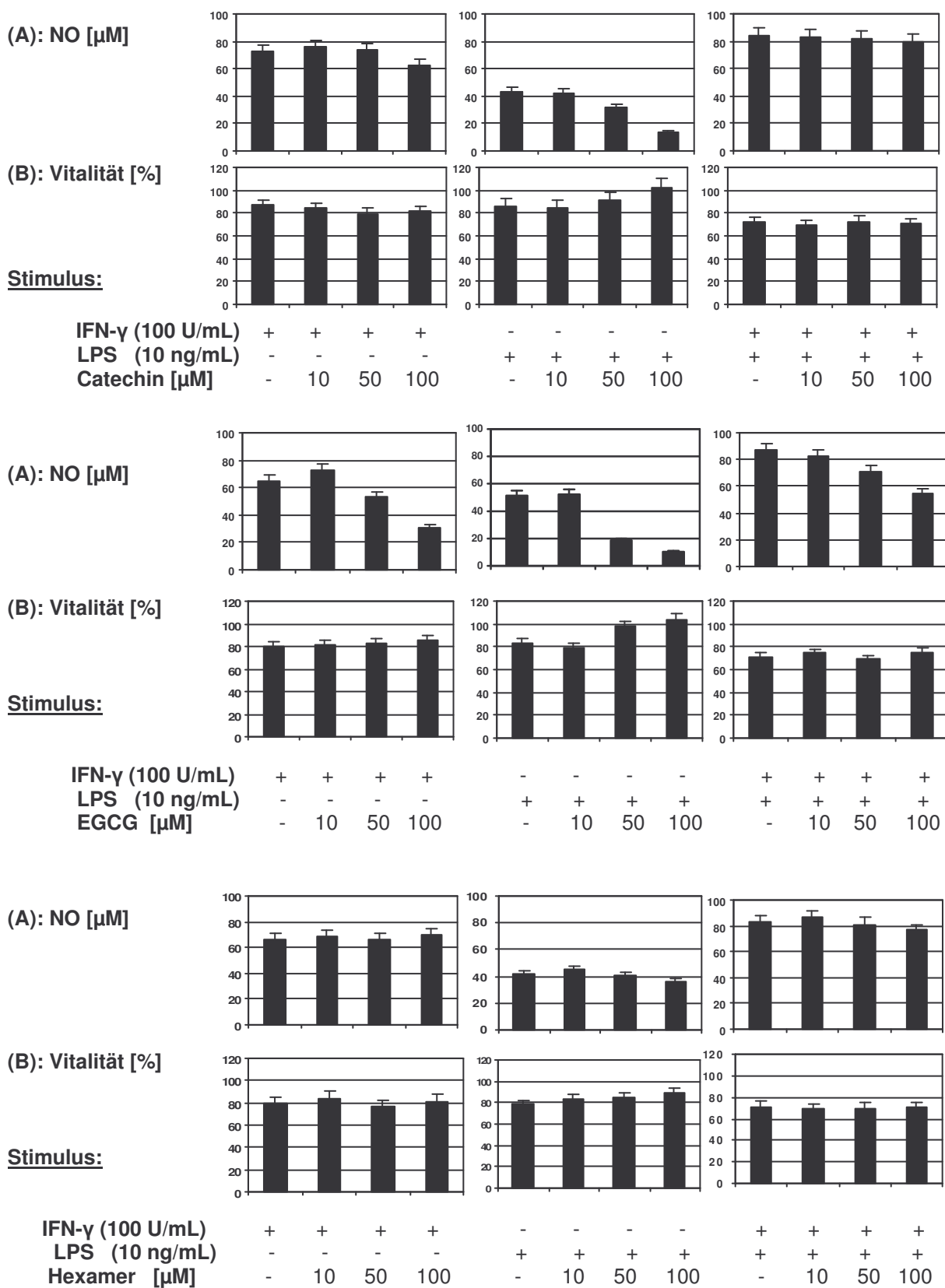


Abb. 14.1b: Stimulus-induzierte NO-Produktion (A) und Vitalität (B) aktivierter RAW 264.7-Zellen durch Polyphenole

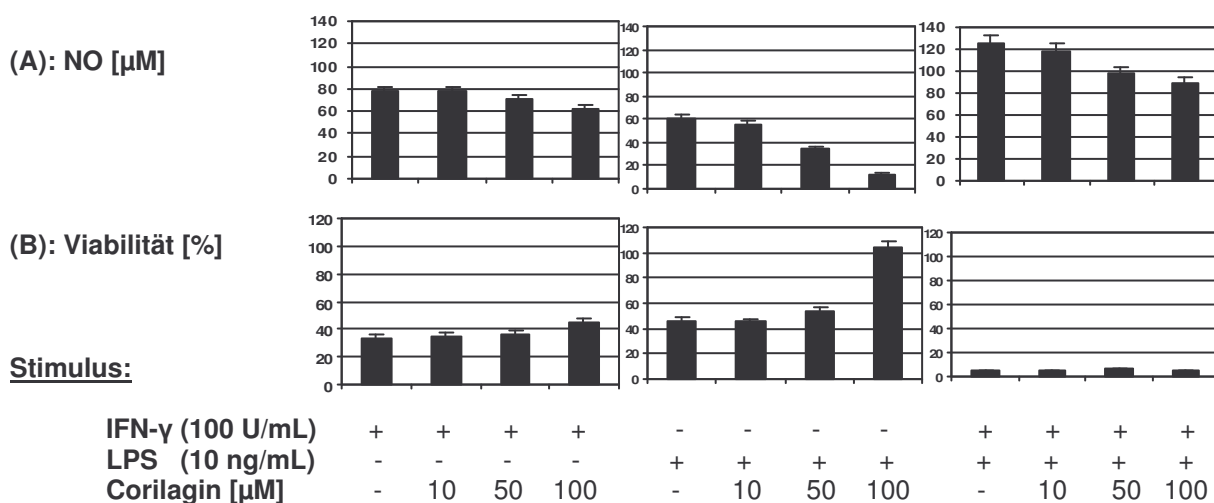
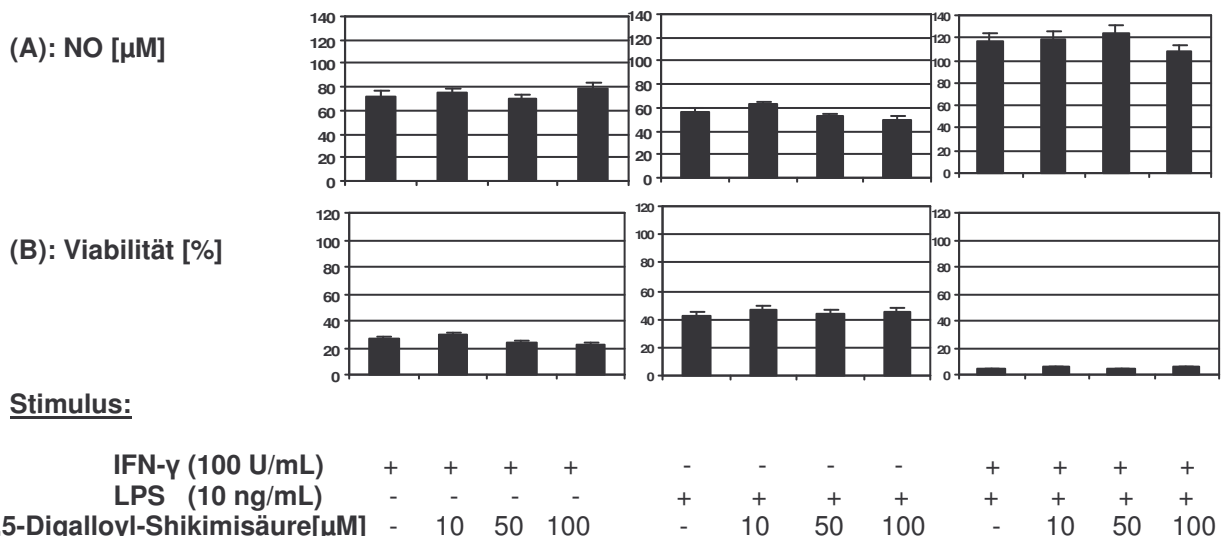
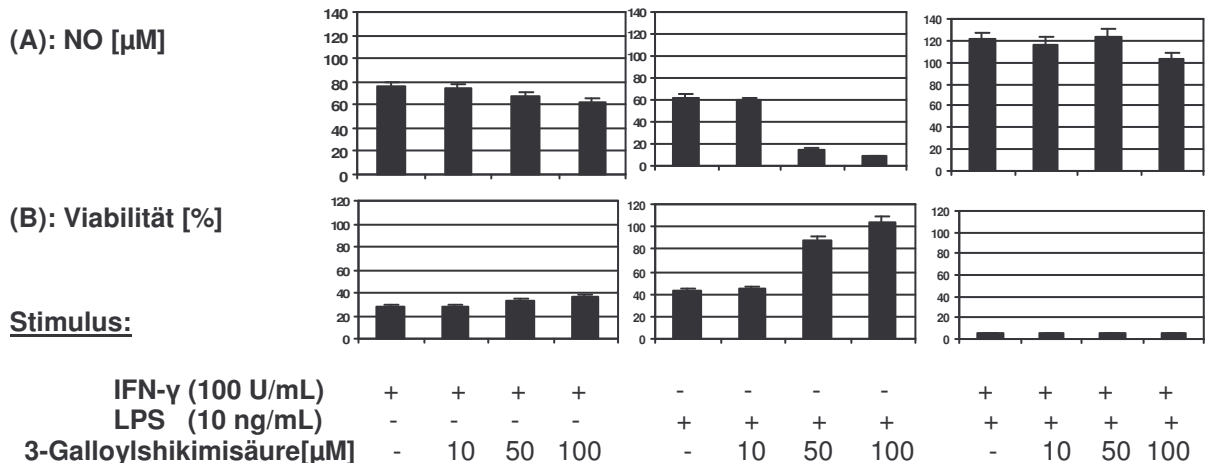


Abb. 14.2a: Stimulus-induzierte NO-Produktion (A) und Leishmanien-Viabilität (B) *L. major* - infizierter RAW-Zellen durch Polyphenole

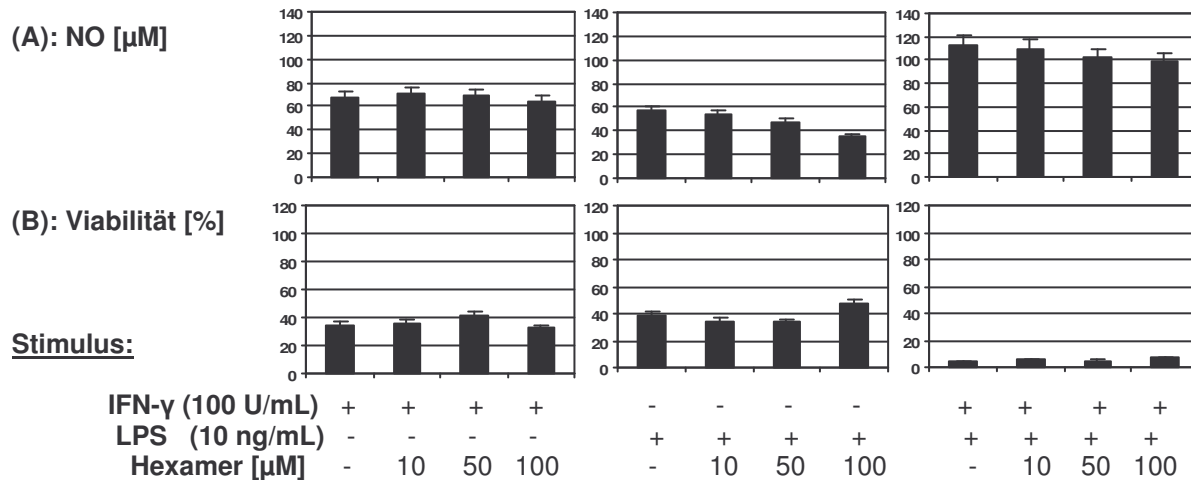
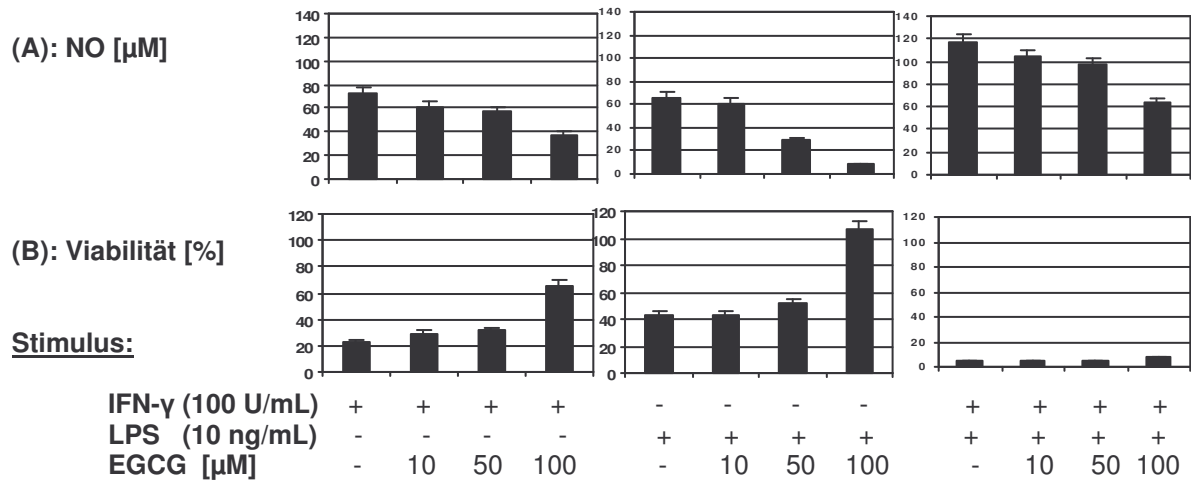
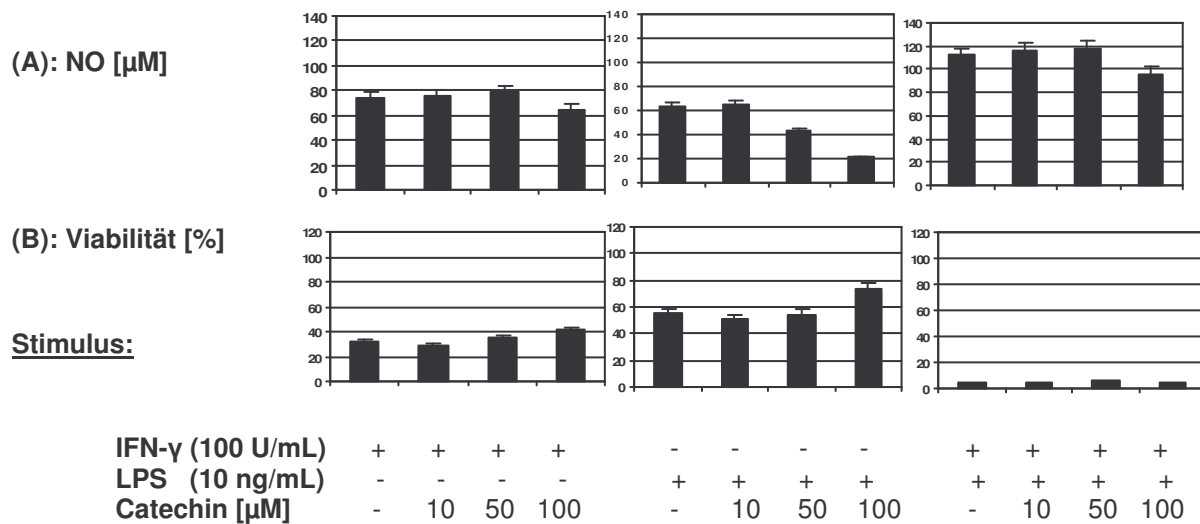


Abb. 14.2b: Stimulus-induzierte NO-Produktion (A) und Leishmanien-Viabilität (B) *L. major* - infizierter RAW-Zellen durch Polyphenole

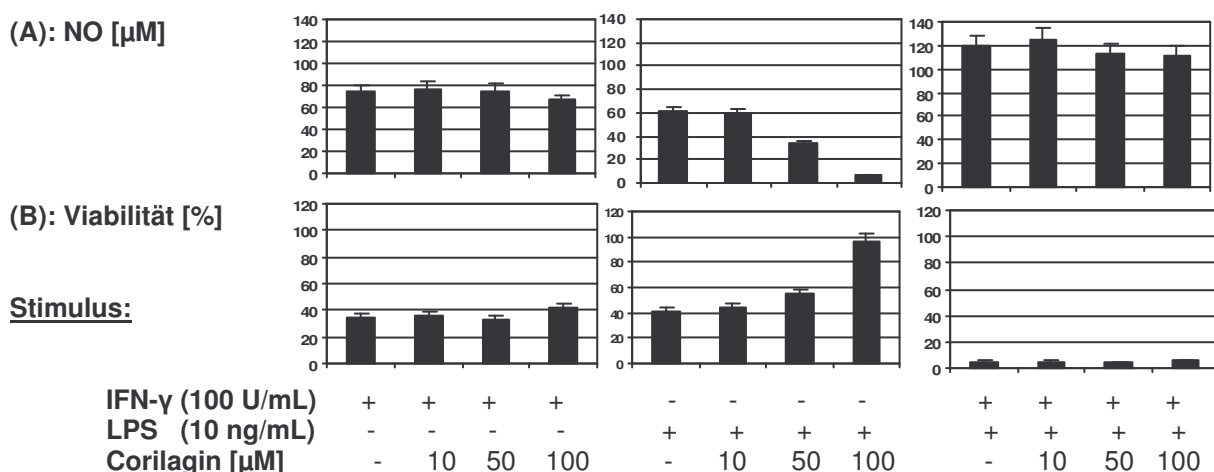
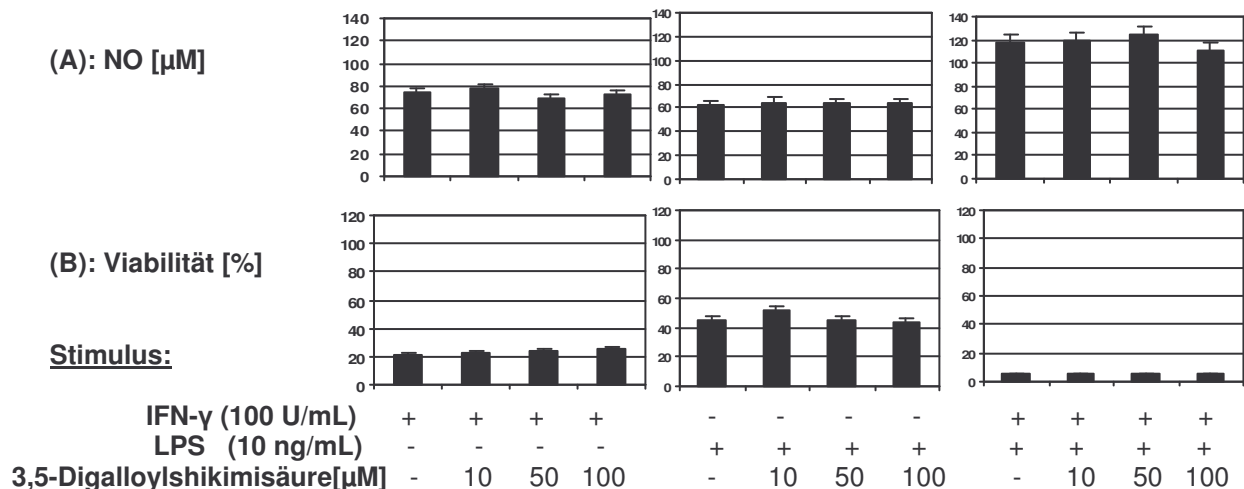
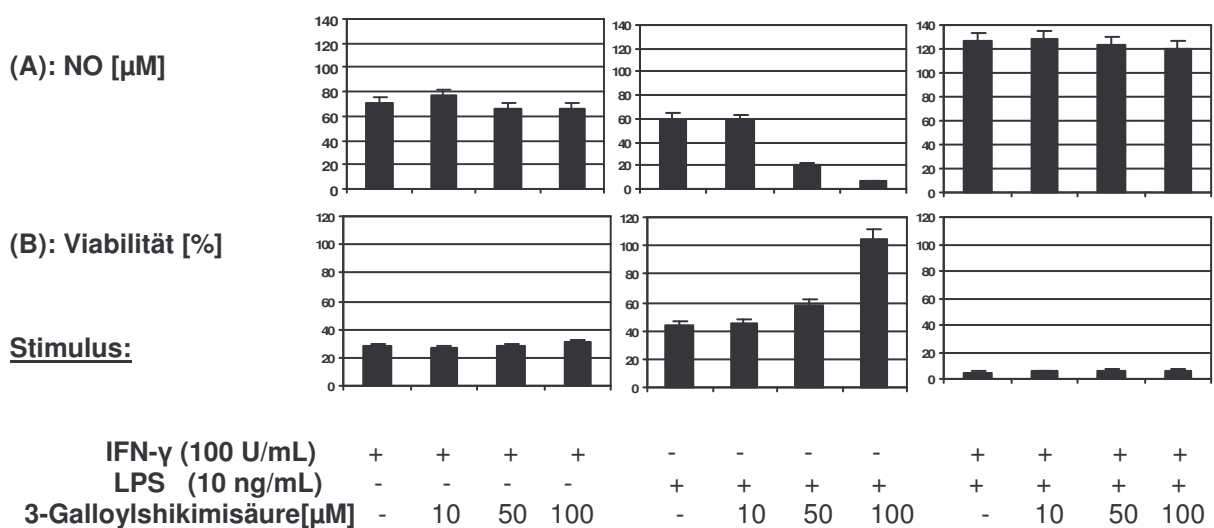


Abb. 14.3a: Stimulus-induzierte NO-Produktion (A) und Leishmanien-Viabilität (B) *L. donovani* - infizierter RAW-Zellen durch Polyphenole

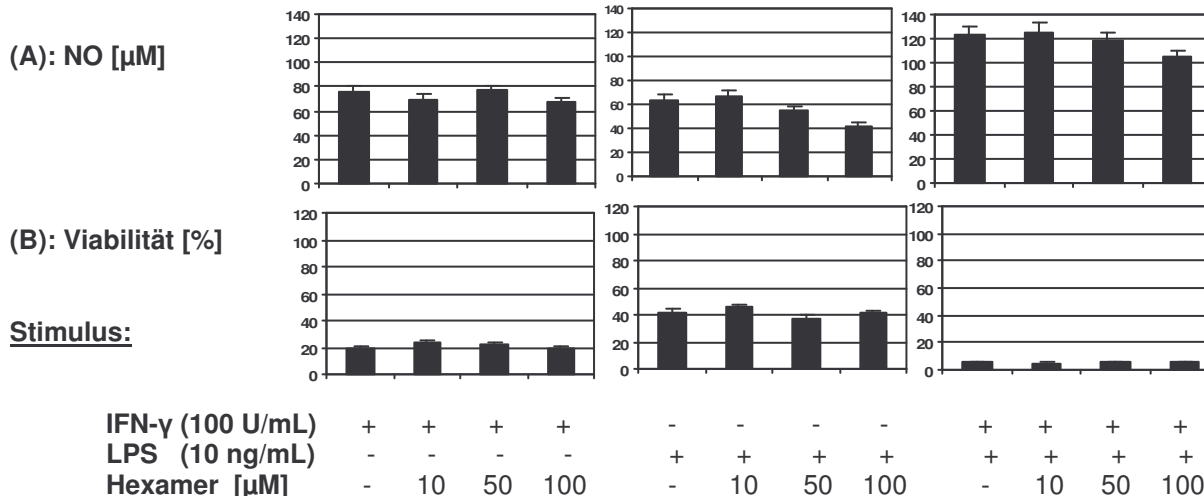
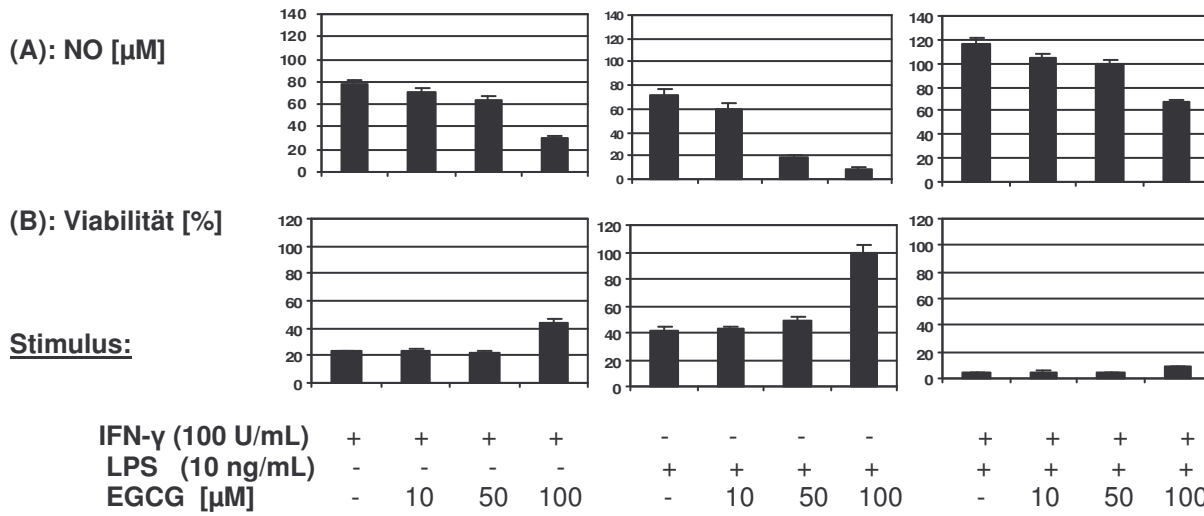
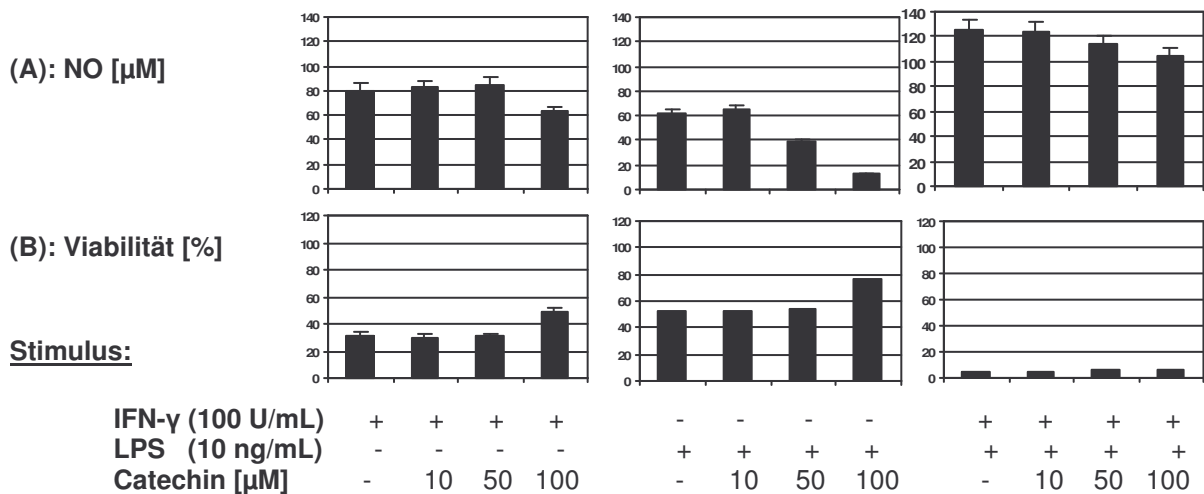


Abb. 14.3b: Stimulus-induzierte NO-Produktion (A) und Leishmanien-Viabilität (B) *L. donovani* - infizierter RAW-Zellen durch Polyphenole

14.3 Datenanhang II (Kapitel 8.1)

Tabelle 14.1: Transkriptionsstärke [%] der aufgeführten Gene für Zytokine und iNOS relativ zum internen Standard HGPRT (100 %) in nicht infizierten und *Leishmania major* infizierten RAW 264.7-Zellen zu verschiedenen Zeitpunkten nach Behandlung

a) ohne Behandlung

	IL-1	IL-10	IL-12	IL-18	TNF-α	IFN-α	IFN-γ	iNOS	
2 h	< 10 17,32	< 10 11,63	< 10 < 10	< 10 26,74	< 10 11,14	< 10 < 10	< 10 < 10	< 10 < 10	nicht infiziert <i>L. major</i>
4 h	< 10 51,22	< 10 < 10	< 10 11,34	< 10 12,36	< 10 50,6	< 10 10,49	< 10 < 10	< 10 11,38	nicht infiziert <i>L. major</i>
6 h	< 10 42,55	< 10 < 10	< 10 10,51	< 10 12,81	< 10 40,13	< 10 12,65	< 10 10,28	< 10 11,81	nicht infiziert <i>L. major</i>
10 h	< 10 24,00	< 10 31,10	< 10 10,24	< 10 11,07	< 10 26,39	< 10 10,46	< 10 < 10	< 10 10,34	nicht infiziert <i>L. major</i>
18 h	< 10 10,65	< 10 < 10	< 10 11,1	< 10 10,44	< 10 10,58	< 10 < 10	< 10 < 10	< 10 11,01	nicht infiziert <i>L. major</i>
24 h	< 10 < 10	nicht infiziert <i>L. major</i>							

b) IFN-γ + LPS

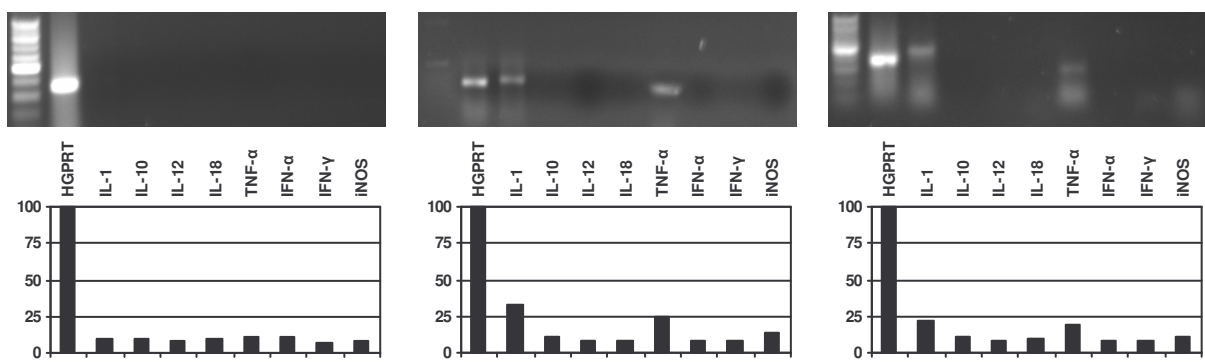
	IL-1	IL-10	IL-12	IL-18	TNF-α	IFN-α	IFN-γ	iNOS	
2 h	24,87 28,36	< 10 11,3	11,13 16,41	10,14 18,98	39,1 39,48	12,09 12,27	11,1 10,56	13,51 13,21	nicht infiziert <i>L. major</i>
4 h	62,02 68,13	11,34 11,01	32,82 57,95	38,7 51,66	50,49 82,79	11,42 54,28	12,17 10,88	50,87 60,15	nicht infiziert <i>L. major</i>
6 h	65,3 82,67	< 10 35,52	31,04 55,71	13,38 34,96	50,27 85,05	13,41 26,88	10,39 10,69	54,38 93,52	nicht infiziert <i>L. major</i>
10 h	43,26 77,13	< 10 50,61	< 10 13,7	< 10 27,49	43,19 84,53	< 10 < 10	< 10 10,05	46,7 55,99	nicht infiziert <i>L. major</i>
18 h	39,24 76,57	< 10 75,29	< 10 < 10	< 10 11,77	40,12 80,36	< 10 < 10	< 10 < 10	26,17 10,19	nicht infiziert <i>L. major</i>
24 h	< 10 34,45	< 10 13,5	< 10 < 10	< 10 < 10	< 10 31,23	< 10 < 10	< 10 < 10	< 10 12,56	nicht infiziert <i>L. major</i>

c) Gallussäure

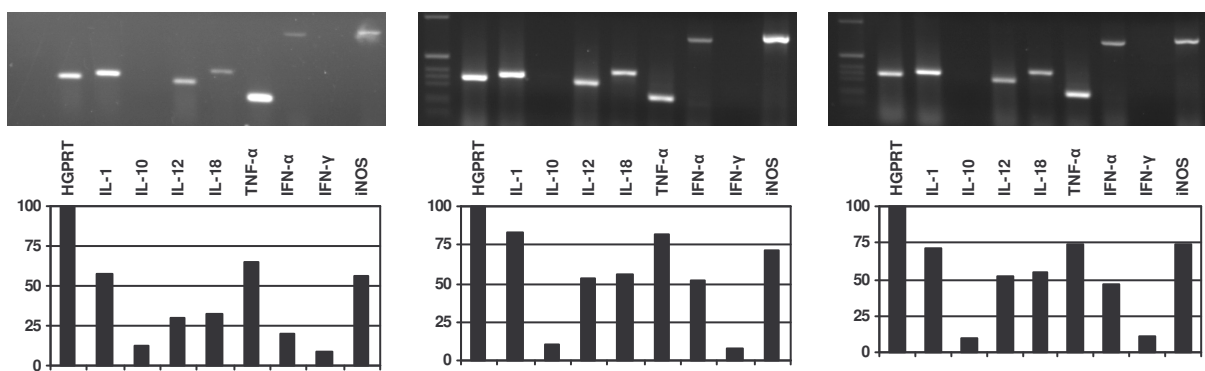
	IL-1	IL-10	IL-12	IL-18	TNF-α	IFN-α	IFN-γ	iNOS	
2 h	10,83 30,61	10,41 < 10	9,33 < 10	11,69 11,87	< 10 39,13	10,26 < 10	< 10 < 10	11,42 < 10	nicht infiziert <i>L. major</i>
4 h	65,3 80,71	< 10 15,5	31,04 44,62	13,38 58,04	50,27 61,75	13,41 47,06	10,39 58,23	54,38 45,79	nicht infiziert <i>L. major</i>
6 h	27,83 76,41	10,41 26,06	< 10 < 10	11,69 26,74	39,01 65,1	10,26 22,3	< 10 < 10	11,42 38,86	nicht infiziert <i>L. major</i>
10 h	26,14 23,13	49,56 77,95	11,76 < 10	< 10 < 10	39,9 19,98	10,95 < 10	< 10 < 10	< 10 10,15	nicht infiziert <i>L. major</i>
18 h	10,7 < 10	< 10 < 10	< 10 < 10	< 10 10,22	10,07 10,28	10,59 < 10	< 10 < 10	< 10 10,73	nicht infiziert <i>L. major</i>
24 h	< 10 < 10	nicht infiziert <i>L. major</i>							

14.4 Datenanhang III (Kapitel 8.2)

RAW 264.7, ohne Behandlung



RAW 264.7, Behandlung mit IFN- γ + LPS



RAW 264.7, Behandlung mit Gallussäure

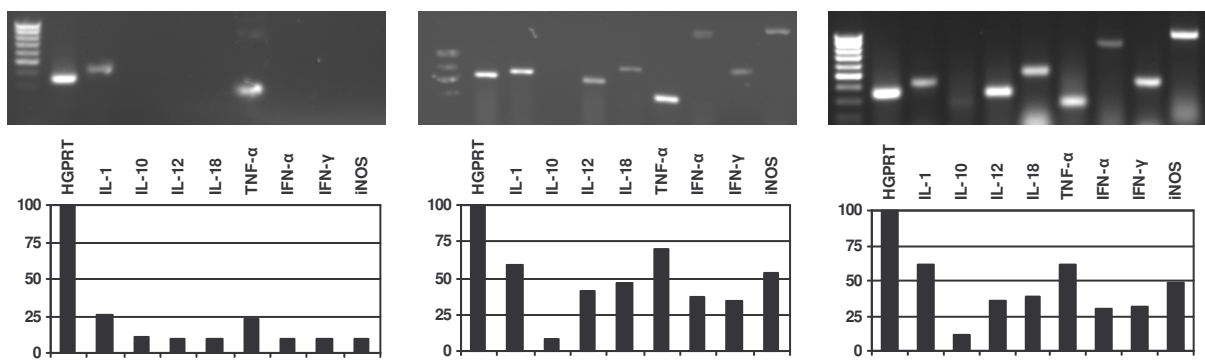
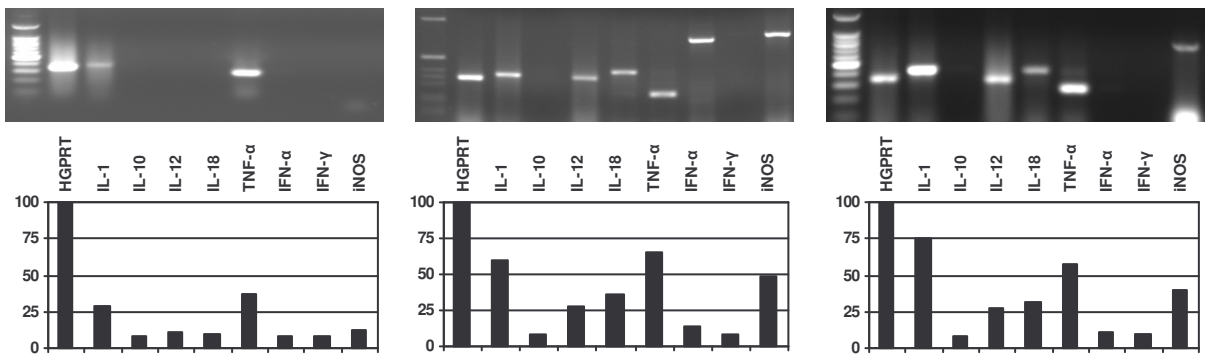
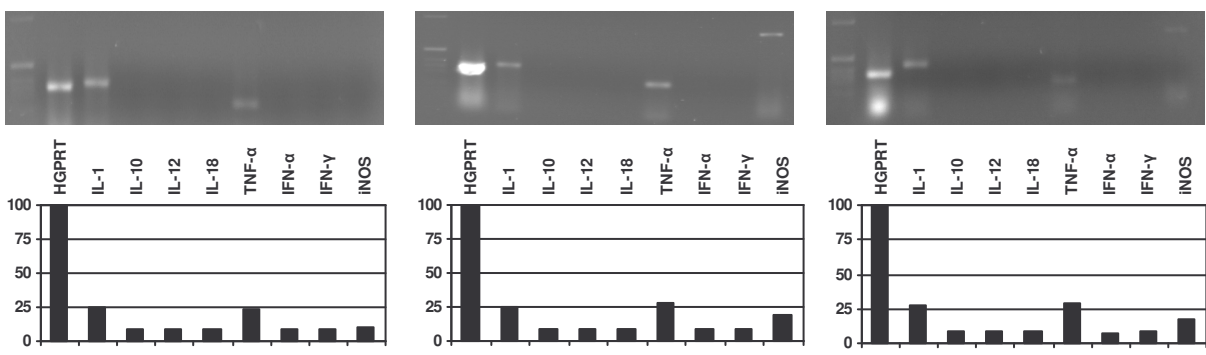


Abb. 14.4: Transkriptionsprofil von Zellen ohne Behandlung, nach Stimulation mit IFN- γ + LPS und Gallussäure; linke Spalte nicht infizierte Zellen, Mitte *L. major* infizierte und rechts *L. donovani* infizierte Zellen.

Proanthocyanidin-Hexamer



Catechin



EGCG

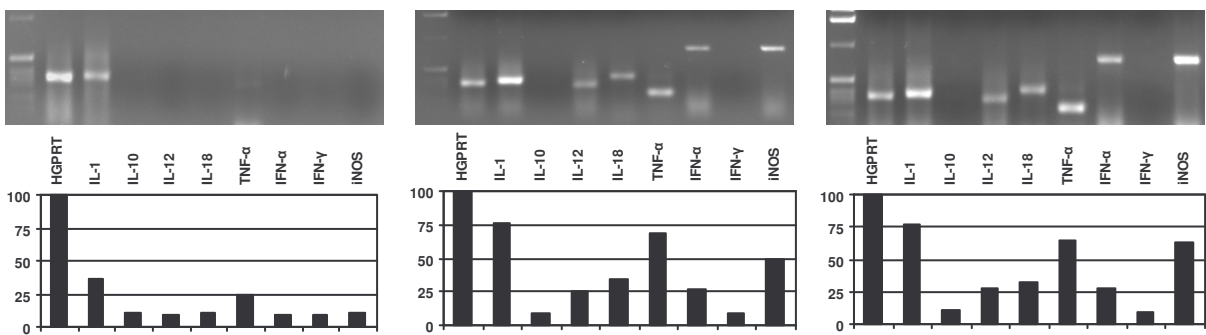
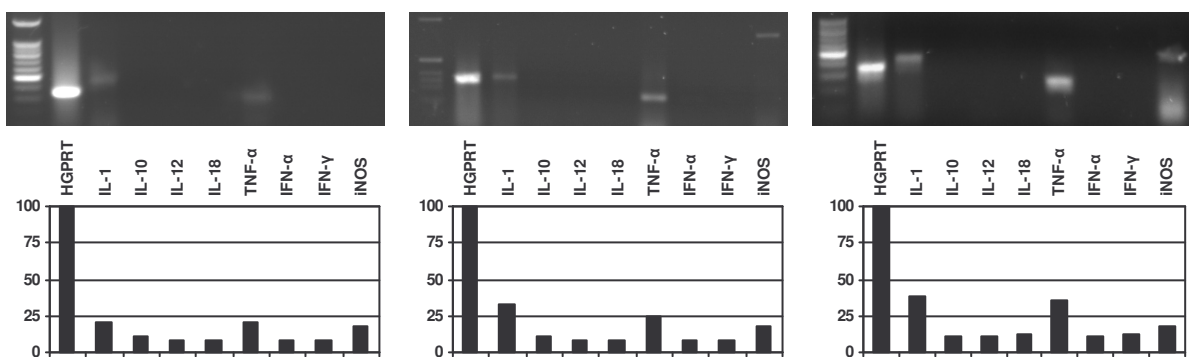
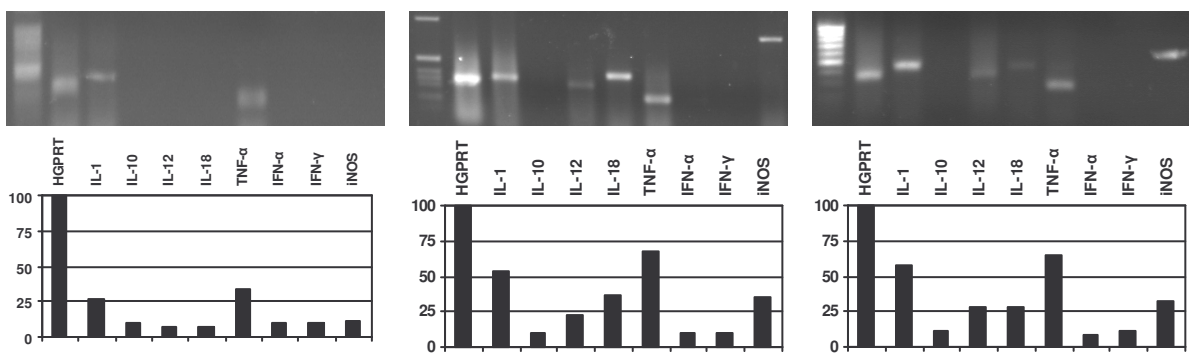


Abb. 14.5: Transkriptionsprofil nicht infizierter (links), *L. major*-infizierter (Mitte) und *L. donovani*-infizierter (rechts) RAW-Zellen nach Behandlung mit Catechin, EGCG und dem Proanthocyanidin-Hexamer

3-Galloyl-Shikimisäure



3,5-DiGalloyl-Shikimisäure



Corilagin

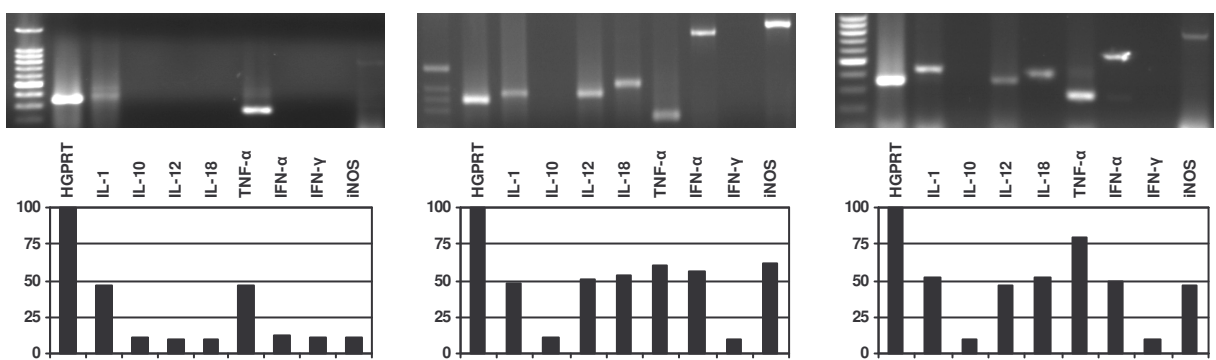
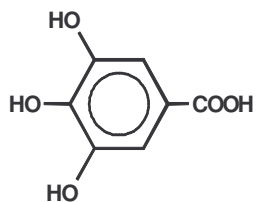


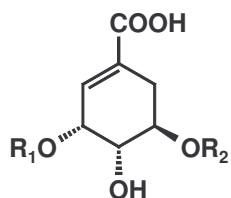
Abb. 14.6: Transkriptionsprofil nicht infizierter (links), *L. major*-infizierter (Mitte) und *L. donovani*-infizierter (rechts) RAW-Zellen nach Behandlung mit den galloylierten Shikimisäuren

14.5 Strukturformeln der Testsubstanzen

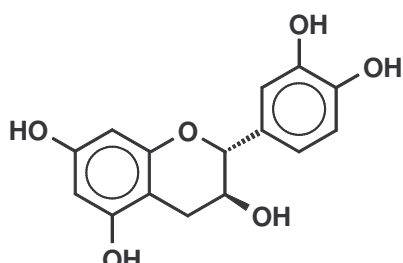
Einfache Phenole



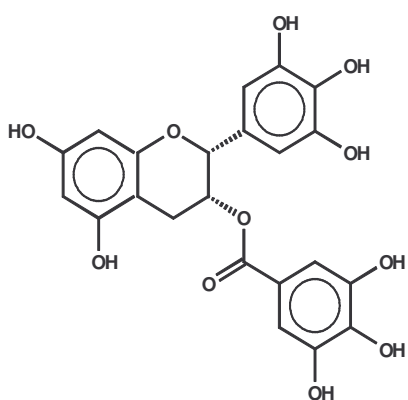
Gallussäure



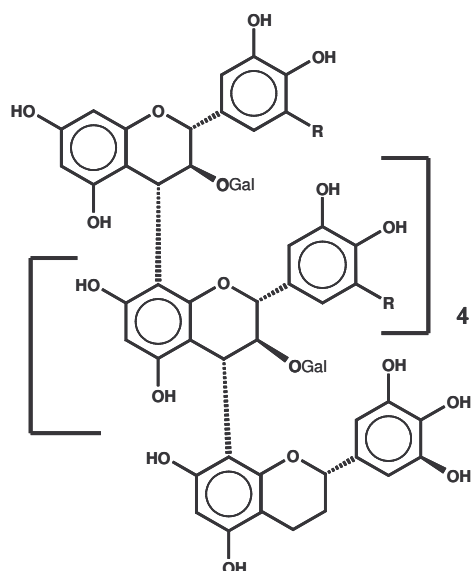
$R_1 = H \quad R_2 = -\text{galloyl}$: 3-Galloylshikimisäure
 $R_1 = R_2 = -\text{galloyl}$: 3,5-Digalloylshikimisäure



Catechin

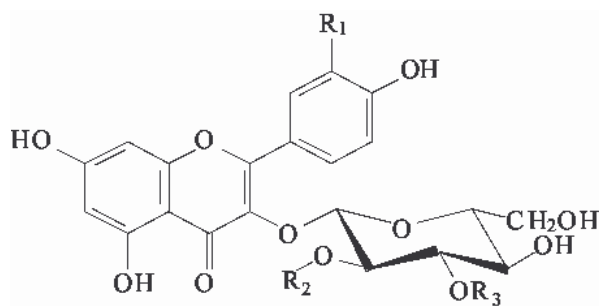


Epigallocatechin-3-gallat (EGCG)



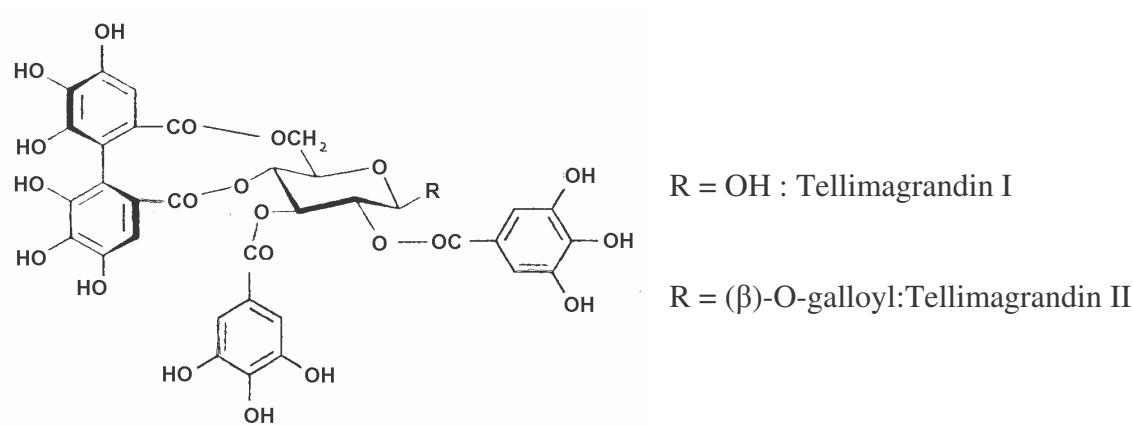
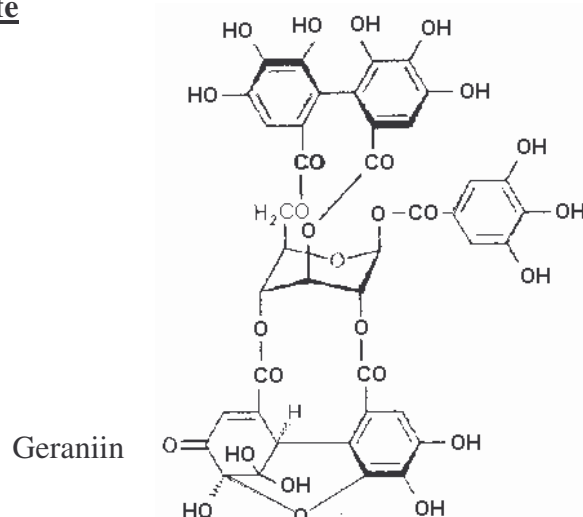
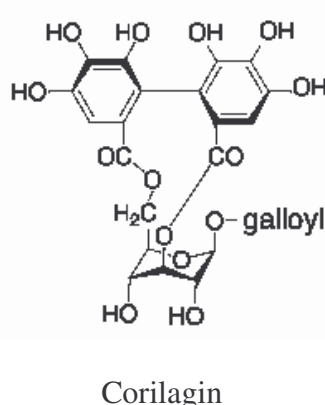
Proanthocyanidin-Hexamer

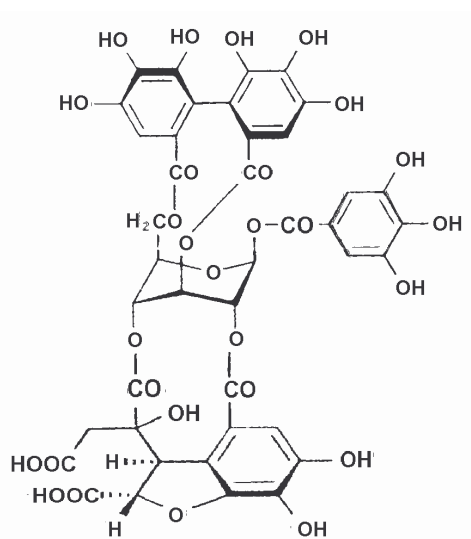
Galloyierte
Flavonoidglykoside



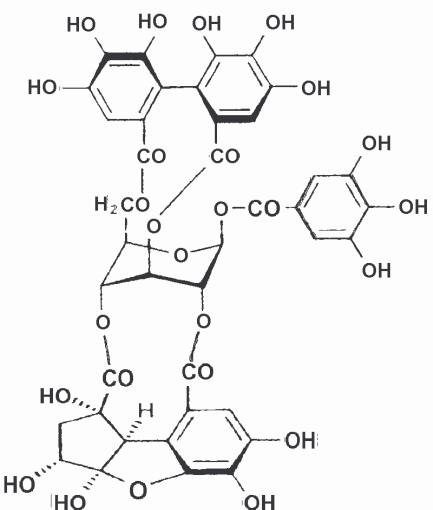
R ₁	R ₂	R ₃	Substanz
H	H	H	Kämpferol 3-O-β-D-glucopyranosid
OH	H	H	Quercetin 3-O-β-D-glucopyranosid
H	galloyl	H	Kämpferol 3-O-(2"-O-galloyl)-β-D-glucopyranosid
OH	galloyl	H	Quercetin 3-O-(2"-O-galloyl)-β-D-glucopyranosid
OH	galloyl	galloyl	Quercetin 3-O-(2",3"-O-digalloyl)-β-D-glucopyranosid
H	galloyl	galloyl	Kämpferol 3-O-(2",3"-O-digalloyl)-β-D-glucopyranosid

Hydrolysierbare Gerbstoffe

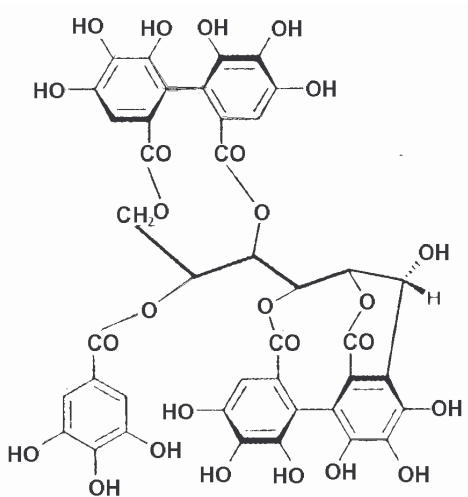




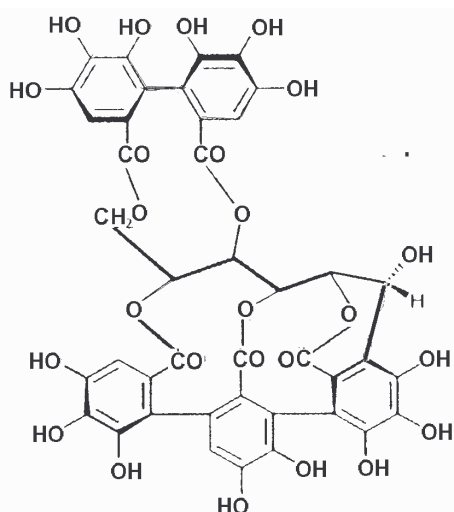
Phyllanthusiin B



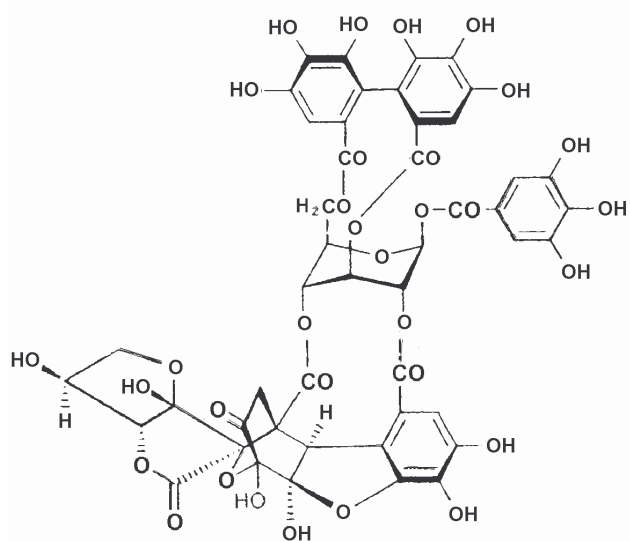
Phyllanthusiin C



Casuarinin

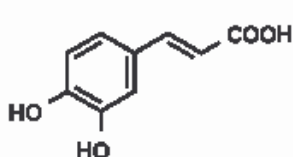


Castalagin

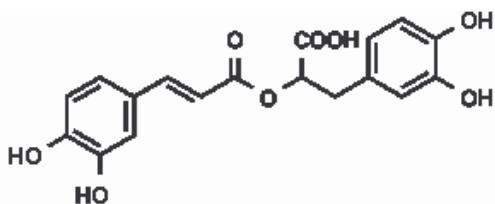


Ascorgeraniin

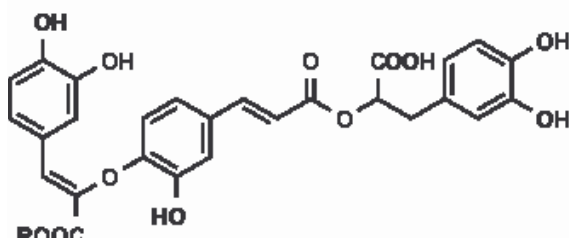
Depside



Kaffeesäure

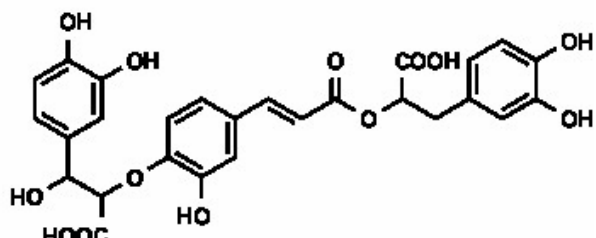


Rosmarinsäure

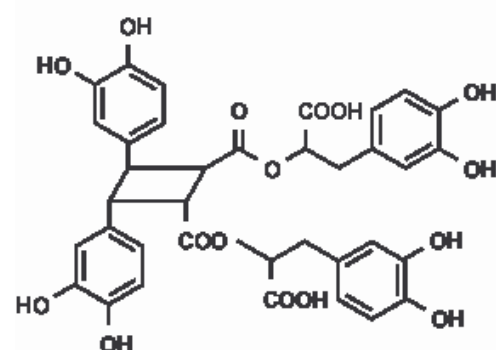


R = H Salvianolsäure I

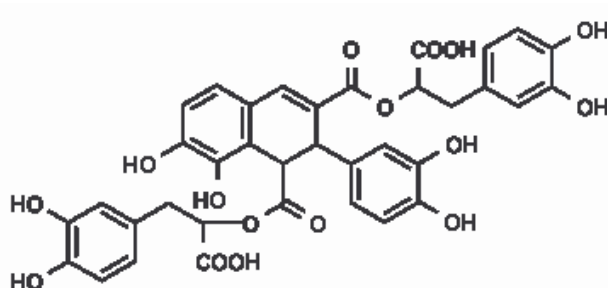
R = CH₃ Salvianolsäure I –
Methylester



Salvianolsäure K

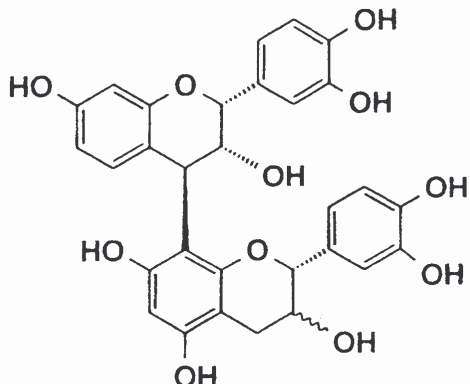


Salvianolsäure L



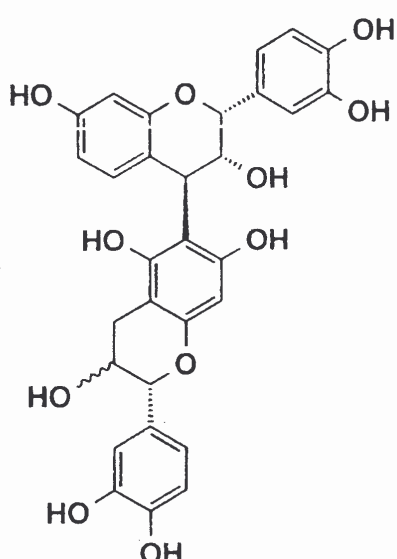
Sagerinsäure

B-Typ-Proanthocyanidine



= Epifisetinidol-4 β ,8-catechin

= Epifisetinidol-4 β ,8-epicatechin



= Epifisetinidol-4 β ,6-catechin

= Epifisetinidol-4 β ,6-epicatechin

14.7 Selbständigkeitserklärung

Hiermit versichere ich, die vorliegende Arbeit selbständig durchgeführt und keine als die angegebenen Hilfsmittel angewendet zu haben.

Berlin, den _____

Oliver Alexander Radtke